竹节参总皂苷通过调节 miR-181a/PPARα 通路改善非酒精性脂肪性肝病的作用

罗 悦¹, 刘小慧¹, 魏承亮¹, 段 丽¹, 刘朝奇¹, 贺海波², 蔡三金^{1*} (1. 三峡大学医学院, 湖北 宜昌 443002; 2. 三峡大学生物与制药学院, 湖北 宜昌 443002)

摘要:目的 应用高脂饮食诱导小鼠非酒精性脂肪性肝病,研究竹节参总皂苷的干预作用。方法 模型小鼠灌胃给予不同剂量(15、45 mg/kg)竹节参总皂苷,共19 周,称定体质量、肝脏质量,计算肝质量指数,收集血清及肝脏组织检测相关生化指标,HE 染色观察肝脏组织形态及病理变化,RT-PCR 与 RT-qPCR 测定小鼠肝脏中脂质代谢相关基因、炎症因子及 miR-181a、PPARα mRNA 表达,Western blot 检测肝脏中 TLR4、p-STAT1 蛋白表达。结果 模型组小鼠体质量、肝质量指数及血清 ALT、肝组织 TG 水平均增加;HE 染色表现典型脂肪样变及炎性浸润;miR-181a、脂质代谢相关基因、炎症相关基因及蛋白表达增加,而 PPARα mRNA 表达下降。竹节参总皂苷干预后,血清 ALT 及肝组织 TG 水平减少;肝组织病理学变化明显改善。miR-181a、SREBP-1c、ChREBP,TLR4、p-STAT1,IL-1β、TNFα mRNA 表达下降,而 PPARα mRNA 表达上升。结论 竹节参总皂苷可改善高脂饮食诱导的非酒精脂肪性肝病,其作用机制可能与 miR-181a/PPARα 及其介导的脂毒性及炎症信号通路有关。

关键词: 竹节参总皂苷; 非酒精性脂肪性肝病; miR-181a/PPARα; 脂质代谢; 炎症反应

中图分类号: R285.5

文献标志码:B

文章编号: 1001-1528(2022)01-0219-04

doi:10.3969/j.issn.1001-1528.2022.01.042

随着生活方式的改变,非酒精性脂肪性肝病 (NAFLD) 全球发病率高达 25%,为肝细胞癌的主要病因 之一^[1-2]。"多重打击"假说指出,肝细胞脂质过度积累和肝细胞炎症环境是导致肝细胞损伤、激活肝细胞死亡、促进星状细胞活化、纤维基质沉积的重要因素^[3-4]。

miRNA 是一类长度约为 22 个核苷酸的非编码单链RNA 分子,可以通过靶向 mRNA 并抑制其翻译或促进其降解在转录后水平调节基因表达。有研究指出,miR-181a 在NAFLD 患者、高脂饮食小鼠及 ob/ob 小鼠的血液和肝脏中高度表达,并在 NAFLD 中作用显著^[5]。

过氧化物酶体增殖物激活受体 α (peroxisome proliferator activated receptor α , PPAR α) 是一种配体诱导的转录因子,在能量代谢、肝功能、炎症、细胞周期改变和啮齿动物肝癌发生中起关键作用 $^{[6]}$ 。有研究报道,敲除肝细胞特异性 $PPAR\alpha$ 基因导致小鼠肝脏和全身脂肪酸动态平衡受损,可见 PPAR α 与 NAFLD 发展密切相关 $^{[7]}$ 。

目前,临床上仍缺乏针对治疗 NAFLD 的公认药物^[8]。 竹节参 Panax japonicus C. A. Meyer 是五加科人参属多年生 草本植物,具有散瘀止血、消肿止痛、止咳祛痰、补虚强 壮的功效,竹节参总皂苷是其主要活性成分^[9],具有减轻 肠道炎症反应、改善小鼠脂肪性肝病作用^[10-11]。本研究利 用高脂饮食建立 NAFLD 小鼠,并使用不同剂量竹节参总皂 苷干预,为相关防治提供新的思路。

1 材料

- 1.1 动物 SPF 级雄性 BALB/c 小鼠 40 只,饲养于三峡大学实验动物中心[动物生产许可证号 SCXK (鄂) 2017-0012]。所有操作都遵循伦理委员会相关动物使用和保护规定、伦理审查表编号 2013090B。
- 1.2 试剂及药物 竹节参购于恩施竹节参种植基地,经湖北省天然产物研究与开发重点实验室汪鋆植教授鉴定为正品。竹节参总皂苷采用醇提法提取,大孔树脂吸附法纯化^[12]。丙氨酸氨基转移酶(ALT)试剂盒、甘油三酯(TG)试剂盒均购于中生北控生物科技有限公司;PrimeScript™RT reagent Kit with gDNA Eraser(Prefect Real Time)(日本 TaKaRa 公司,货号 RR047A);Green Taq Mix(南京诺唯赞生物科技有限公司,P131-03);抗体 TLR4(美国 Santa Cruz 公司,货号 SC-293072)、p-STAT1(美国 Cell Signaling 公司,货号 8826)、β-actin(美国 Cell Signaling 公司,货号 4970L)。引物由生工生物工程(上海)股份有限公司合成。其余试剂均为分析纯。
- 1.3 仪器 PowerPas Basic 电泳仪 (美国 Bio-Rad 公司); 核酸蛋白分析仪 (美国 Beckman 公司); Gene Genius 凝胶分析系统 (英国 Syngene 公司); Step One Plus 实时定量PCR 仪(美国 Applied Biosystem 公司); 梯度 PCR 仪(美国 Applied Biosystem 公司); Gel Logic-200 凝胶成像分析系统(美国 Kodak 公司);全波长酶标仪(美国 Thermo 公司)。

收稿日期: 2020-06-10

基金项目: 国家自然科学基金项目 (81673675); 湖北省卫健委科研基金项目 (WJ2019M067)

作者简介: 罗 悦 (1991—), 女, 硕士, 研究方向为代谢性疾病中药药理。Tel: 15587900966, E-mail: 470209763@ qq.com

* **通信作者**: 蔡三金 (1962—), 男, 副教授, 研究方向为代谢性疾病中药药理。Tel: 13972609507, E-mail: YXYYPB@ ctgu. edu.com 网络出版日期: 2021-02-24

网络出版地址: https://kns.cnki.net/kcms/detail/31.1368. R. 20210224.1648.006.html

第1期

2 方法

第 44 卷

- 2.1 分组及给药 将小鼠随机分为正常饮食组、模型组、 竹节参总皂苷低剂量组、竹节参总皂苷高剂量组,除正常 饮食组外(标准饲料喂养)其他3组给予华阜康公司高脂 饲料(H10060)喂养,同时竹节参总皂苷组灌胃不同剂量 药物(15、45 mg/kg,溶于生理盐水),正常饮食组予等量 的生理盐水灌胃,饲养19周,每2d记录1次体质量。
- 2.2 标本采集 将喂养 19 周后的小鼠称定质量,腹腔注射 10% 水合氯醛麻醉,取血,血液静置于 37 ℃下 1 h,3 000 r/min离心 10 min,收集血清。小鼠脱颈椎处死,切取肝脏,生理盐水冲洗并称质量,切取肝大叶中部长度、厚度适中部分置于包埋夹中,多聚甲醛固定,剩余新鲜肝脏组织置于 1.5 mL 离心管中,在-80 ℃下保存。
- 2.3 小鼠血清 ALT 活性检测 新鲜小鼠血清使用多功能酶标仪检测 ALT 活性,具体方法参照试剂盒说明书。
- 2.4 小鼠肝脏组织 TG 水平检测 称取小鼠新鲜肝脏50 mg, 浸于1 mL无水乙醇, 置于1.5 mL 离心管中, 充分研磨后室温抽提24 h, 5000 r/min 离心5 min, 收集上层澄清抽提液, 使用多功能酶标仪检测 TG 水平。
- 2.5 小鼠肝脏组织 HE 染色 小鼠肝组织固定完成后修整大小,乙醇梯度脱水,石蜡包埋,切片(厚度4 μm),常规 HE 染色,在显微镜下观察。
- 2.6 RT-PCR 与 RT-qPCR 检测 SREBP-1c、ChREBP、IL-1 β 、TNF α 、miR-181a、PPAR α mRNA 表达 称取小鼠新鲜肝脏 50 mg 至 1.5 mL EP 管中,使用 Trizol 充分裂解并提取总 RNA,电泳检测 RNA 完整性,逆转录试剂盒逆转获得cDNA,RT-PCR 技术验证引物,2%琼脂糖凝胶电泳(内参β-actin),成像系统中拍摄分析。miR-181a 以 U6 作为内参,在实时定量 PCR 仪中扩增并测量绘制扩增曲线,反应体系为 5 μL SYBR Green,2.4 μL RNase-free water,0.4 μL 引物(浓度为 10 μmol/L),2 μL cDNA(逆转后稀释 10 倍),0.2 μL ROX。反应结束后读取 CT 值,计算 $2^{-\Delta\Delta CT}$,引物序列见表 1。

表 1 引物序列

基因	引物	扩增长度/bp
β-actin	正向 5'-TGCTGTCCCTGTATGCCTCT-3'	224
	反向 5'-TTTGATGTCACGCACGATTT-3'	
$PPAR\alpha$	正向 5'-ACGGCAATGGCTTTATCACA-3'	361
	反向 5'-GCGTCGGACTCGGTCTTCTT-3'	
SREBP-1 c	正向 5'-GCGCTGCAGGCTGTAGGATG-3'	430
	反向 5'-CTGCACGGCTGTGCCAGGAG-3'	
ChREBP	正向 5'-CCTTCAATGGGATGGTGTCTACC-3'	193
	反向 5'-TCTGTGACTGCCCGTGTGG-3'	
<i>IL</i> -1β	正向 5'-TGTCCTGTGTAATGAAAGACGGC-3'	186
	反向 5'-GCTTGTGCTCTGCTTGTGAGG-3'	
$TNF\alpha$	正向 5'-TCAACCTCCTCTCTGCCGTC-3'	198
	反向 5'-GAGCAATGACTCCAAAGTAGACCT-3'	
U6	正向 5'-CTCGCTTCGGCAGCACA-3'	94
	反向 5'-AACGCTTCACGAATTTGCGT-3'	
miR-181 a	正向 5'-CGCACGGAACATTCAACG-3'	76
	反向 5'-CAGTGCAGGGTCCGAGGT-3'	

2.7 Western blot 法检测 p-STAT、TLR4 蛋白表达 称取小鼠肝脏组织适量,加入 RIPA 蛋白裂解液充分匀浆后,在 4 $^{\circ}$ C下提取 30 min 后,12 000 r/min 离心10 min,收集上清为

组织总蛋白,应用 BCA 蛋白定量法检测蛋白浓度,加入蛋白上样缓冲液,制备灭活样品。经 SDS-PAGE 凝胶电泳分离后,按照蛋白分子大小切取相应凝胶片段,采用湿法转膜将蛋白条带转移至 PVDF 膜上,经牛奶封闭、孵育一抗、洗膜、孵育二抗、洗膜等步骤后,X光片显影,扫描图像,Image J 软件分析蛋白表达。

2.8 统计学分析 通过 SPSS 21.0 软件进行处理,数据以 $(\bar{x}\pm s)$ 表示,多组间比较采用单因素方差分析 (One-way ANOVA),2组之间比较采用 Dunnett-t 检验。P<0.05 表示差异具有统计学意义。

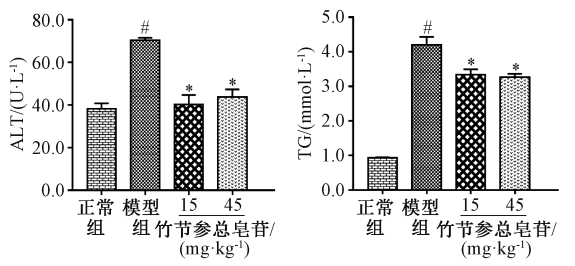
3 结果

3.1 竹节参总皂苷对高脂饮食小鼠体质量及肝质量指数的影响 小鼠给予高脂饲料喂养 19 周后,体质量及肝质量指数较正常组升高(P<0.05, P<0.01);经竹节参总皂苷药物干预后,小鼠体质量及肝质量指数下降(P<0.05, P<0.01),见表2。

表 2 竹节参总皂苷对高脂饮食小鼠体质量及肝质量指数的影响 $(\bar{x}\pm s, n=10)$

组别	体质量/g	肝指数/%
正常组	32. 21±2. 68	4. 49±0. 23
模型组	37.99±3.86 [#]	4. 98±0. 07##
竹节参总皂苷低剂量组	33. 26±1. 76 **	4. 62±0. 37 *
竹节参总皂苷高剂量组	33. 01±1. 42 **	4. 35±0. 17 **

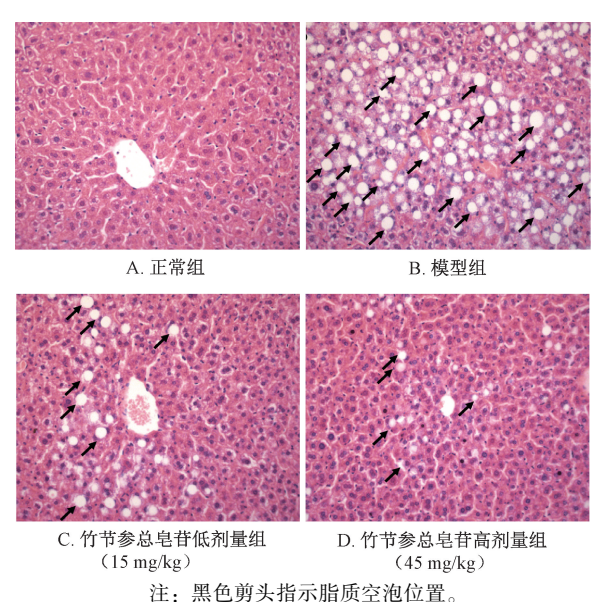
注:与正常组比较, **P<0.05, ***P<0.01; 与模型组比较, **P<0.05, ***P<0.01。



注: 与正常组比较, *P<0.05; 与模型组比较, *P<0.05。

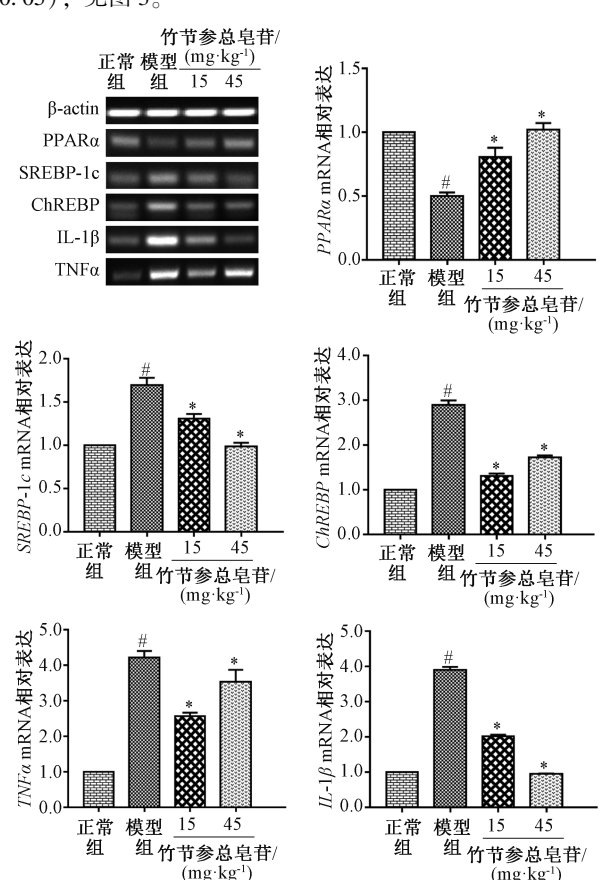
图 1 竹节参总皂苷对高脂饮食小鼠血液中 ALT 及肝组织 TG 的影响 $(\bar{x}\pm s, n=10)$

- 3.3 竹节参总皂苷改善高脂饮食小鼠肝组织病理变化 小鼠给予高脂饲料喂养 19 周后,肝小叶结构不完整,肝脏细胞肿胀、变圆,排列不规则,可见弥漫性的脂质空泡,并有融合现象,伴随炎性细胞浸润,结合 "3.1" "3.2" 项下结果证明模型构建成功^[13];经竹节参总皂苷干预后,肝组织病理变化改善明显,肝索排列较整齐,脂肪空泡明显减少,肝组织炎症浸润现象轻微,见图 2。
- 3.4 竹节参总皂苷调节高脂饮食小鼠肝脏脂质代谢相关基因的表达 与正常组比较,模型组小鼠肝脏组织中脂质代谢相关基因 SREBP-1c、ChREBP mRNA 表达升高 (P < 0.05),高脂饮食引起小鼠肝脏脂质代谢紊乱;竹节参总皂苷干预后 SREBP-1c、ChREBP mRNA 表达降低 (P <



在: 無已男人相外相與主他位置。 2 高脂饮食小鼠肝组织 HE 染色 (×200)

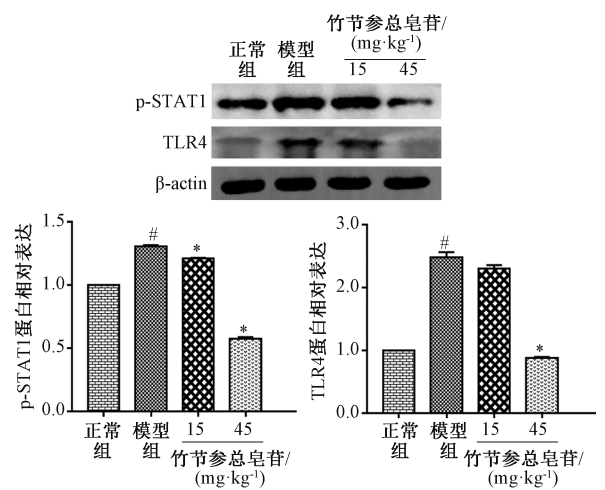
0.05), 见图 3。



注: 与正常组比较,*P<0.05; 与模型组比较,*P<0.05。 图 3 竹节参总皂苷对高脂饮食小鼠肝组织中脂质代谢及 炎症相关基因表达的影响 (x±s, n=10)

3.5 竹节参总皂苷调节高脂饮食小鼠肝脏组织炎症相关基因及蛋白表达 小鼠高脂饲料喂养 19 周后,肝脏组织中TLR4、p-STAT1 蛋白表达升高,见图 4; $TNF\alpha$ 、IL-1 β mRNA 表达也较正常饮食组高(P<0.05),见图 3; 低、高剂量竹节参总皂苷干预后,上述指标均有所下降,并趋于

正常水平。



注:与正常组比较, *P<0.05;与模型组比较, *P<0.05。

图 4 竹节参总皂苷对高脂饮食小鼠肝脏组织中炎症相关蛋白表达的影响 ($\bar{x} \pm s$, n = 10)

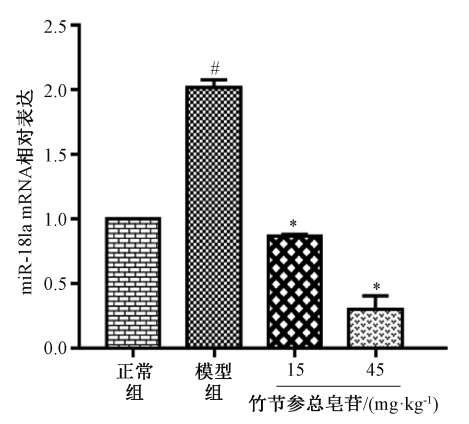
Position 5517-5524 of PPARa 3' UTR

"mmu-miR-181a-5p

3' ...CCUCCUGUAAGCUGAUGAAUGUA...
| | | | | | | |

UGAGUGGCUGUCGCAACUUACAA

图 5 miR-181a 和 PPARα 3'UTR 之间预测碱基配对



注:与正常组比较,*P<0.05;与模型组比较,*P<0.05。

图 6 竹节参总皂苷对高脂饮食小鼠肝脏组织中 miR-181a 基因表达的影响 $(\bar{x}\pm s, n=10)$

4 讨论

miRNAs 通过参与转录后调控干扰目标基因的表达, miRNA-181a 是其中的一员,可调节基因表达所引起的肝脏代谢紊乱及应激激活途径,从而影响 NAFLD 及其向疾病更严重阶段的发展^[14]。NAFLD 患者及动物中显著上调的 miR-181a 可损害肝脏葡萄糖、脂质平衡,而 miR-181a 可直接靶向 PPARα,激活 TLR4/NF-κB 途径,调节炎症反应^[15-16]。本实验证实,NAFLD 发生发展与 miR-181a/PPARα 信号通路相关,而竹节参总皂苷可通过调控该信号通路对 NAFLD 起到干预作用。

第1期

第44卷

PPARα 可同时参与 NAFLD 脂质代谢及炎症反应的调 节过程[17], 通过 LXR 途径调节 SREBP-1c、ChREBP 水 平[18-19], 调控乙酰辅酶 a 羧化酶 (acetyl-CoA carboxylase, ACC) 和脂肪酸合成酶 (fatty acid synthase, FAS) 活 性[20-21], 干预肝脏脂肪酸催化合成。抑制 PPARα 表达时, 肝脏储存过量的脂肪酸,破坏其生理适应机制,引起活性 氧形成、内质网应激、肝细胞功能障碍和损伤,导致脂毒 性炎症发生[22]。脂毒性应激时 Toll 样受体 4 (toll-like receptor 4, TLR4) 被激活, 一方面通过 MyD88 依赖途径激 活 NF-κB 诱导炎症介质 IL-1β、TNFα 的释放^[23]; 另一方 面通过 MyD88 和 TRIF 依赖性信号诱导 STAT1 在 Ser727 处 的快速磷酸化, 并形成同源二聚体进一步迁移到细胞核中 驱动下游炎症途径,激化炎性反应[24-25],而 PPARα 可抑 制 TLR4 表达来减轻炎症水平[26]。本实验结果显示, 竹节 参总皂苷可能通过调节 PPARα/SREBP-1c、ChREBP 的脂 毒性及 PPARα/TLR4/STAT1 的炎症反应信号通路,达到改 善 NAFLD 的作用。

综上所述, miR-181a/PPARα 及其介导的 SREBP-1c、ChREBP 及 TLR4/STAT1 信号通路促进 NAFLD 的发生与发展, 而竹节参总皂苷可通过调控上述信号通路对 NAFLD 起到治疗作用, 为相关防治提供了新方向。

参考文献:

- [1] Younossi Z M, Marchesini G, Pinto-Cortez H, et al. Epidemiology of nonalcoholic fatty liver disease and nonalcoholic steatohepatitis [J]. Transplantation, 2019, 103(1): 22-27.
- [2] Yang H H, Li D M, Song X C, et al. Joint associations of serum uric acid and ALT with NAFLD in elderly men and women: a Chinese cross-sectional study [J]. J Transl Med, 2018, 16(1): 285.
- [3] Buzzetti E, Pinzani M, Tsochatzis E A. The multiple-hit pathogenesis of non-alcoholic fatty liver disease (NAFLD) [J]. *Metabolism*, 2016, 65(8): 1038-1048.
- [4] Arab J P, Arrese M, Trauner M. Recent insights into the pathogenesis of nonalcoholic fatty liver disease [J]. *Annu Rev Phytopathol*, 2018, 13(1): 321.
- [5] Du X L, Yang Y C, Xu C, et al. Upregulation of miR-181a impairs hepatic glucose and lipid homeostasis [J]. Oncotarget, 2017, 8(53): 91362-91378.
- [6] Lefebvre P, Chinetti G, Fruchart J C, et al. Sorting out the roles of PPAR alpha in energy metabolism and vascular homeostasis [J]. J Clin Invest, 2006, 116(3): 571-580.
- [7] Montagner A, Polizzi A, Fouché E, et al. Liver PPARα is crucial for whole-body fatty acid homeostasis and is protective against NAFLD[J]. Gut, 2016, 65(7): 1202-1214.
- [8] Ahmed A, Wang R J, Harrison S A. Nonalcoholic fatty liver disease review: diagnosis, treatment, and outcomes [J]. Clin. Gastroenterol. Hepatol, 2015, 13(12): 2062-2070.
- [9] 何毓敏, 艾 可, 何春喜, 等. 竹节参中的三萜皂苷类成分及其¹³C-NMR 谱特征[J]. 中国中药杂志, 2019, 44(2): 249-260.
- [10] 程志豪, 顿耀艳, 刘 洁, 等. 从 Neu3/IAP 通路研究竹节 参总皂苷对衰老大鼠结肠炎症的改善作用[J]. 时珍国医国 药, 2019, 30(7): 1597-1601.
- [11] 熊海容,李 聪,何春喜,等.竹节参总皂苷通过调节 miR-

- 199-5p 改善小鼠脂肪性肝病的实验研究[J]. 中国中药杂志, 2018, 43(17): 3525-3529.
- [12] 张海滨,张长城,何毓敏,等. 竹节参总皂苷不同提取工艺的比较研究[J]. 现代生物医学进展,2013,13(18):3457-3460.
- [13] Jahn D, Kircher S, Hermanns H M, et al. Animal models of NAFLD from a hepatologist's point of view [J]. Biochim Biophys Acta Mol Basis Dis, 2019, 1865(5): 943-953.
- [14] Gjorgjieva M, Sobolewski C, Dolicka D, et al. miRNAs and NAFLD: from pathophysiology to therapy [J]. Gut, 2019, 68 (11): 2065-2079.
- [15] Jiang K F, Guo S, Zhang T, et al. Downregulation of TLR4 by miR-181a provides negative feedback regulation to lipopolysaccharide-induced inflammation[J]. Front Pharmacol, 2018, 9(2): 142.
- [16] Huang R X, Duan X Y, Liu X L, et al. Upregulation of miR-181a impairs lipid metabolism by targeting PPARα expression in nonalcoholic fatty liver disease [J]. Biochem Biophys Res Commun, 2019, 508(4): 1252-1258.
- [17] Bougarne N, Weyers B, Desmet S J, et al. Molecular actions of PPARα in lipid metabolism and inflammation [J]. Endocr Rev, 2018, 39(5): 760-802.
- [18] Iizuka K, Wu W, Horikawa Y, et al. Feedback looping between ChREBP and PPARalpha in the regulation of lipid metabolism in brown adipose tissues [J]. Endocr J, 2013, 60 (10): 1145-1153.
- [19] Hebbachi A M, Knight B L, Wiggins D, et al. Peroxisome proliferator-activated receptor α deficiency abolishes the response of lipogenic gene expression to re-feeding [J]. J Biol Chem., 2008, 283(8): 4866-4876.
- [20] Lambert J E, Ramos-Roman M A, Browning J D, et al. Increased de novo lipogenesis is a distinct characteristic of individuals with nonalcoholic fatty liver disease [J]. Gastroenterology, 2014, 146(3): 726-735.
- [21] Linden A G, Li S, Choi H Y, et al. Interplay between ChREBP and SREBP-1c coordinates postprandial glycolysis and lipogenesis in livers of mice [J]. J Lipid Res, 2018, 59(3): 475-487.
- [22] Hirsova P, Ibrahim S H, Gores G J, et al. Lipotoxic lethal and sublethal stress signaling in hepatocytes; relevance to NASH pathogenesis [J]. J Lipid Res, 2016, 57(10); 1758-1770.
- [23] Yao L, Kan E M, Lu J, et al. Toll-like receptor 4 mediates microglial activation and production of inflammatory mediators in neonatal rat brain following hypoxia: role of TLR4 in hypoxic microglia[J]. J Neuroinflammation, 2013, 10(1): 23.
- [24] Roy A, Srivastava M, Saqib U, et al. Potential therapeutic targets for inflammation in toll-like receptor 4 (TLR4) mediated signaling pathways[J]. Int Immunopharmacol, 2016, 40(8): 79-89.
- [25] Tomita K, Kabashima A, Freeman B L, et al. Mixed lineage kinase 3 mediates the induction of CXCL10 by a STAT1-dependent mechanism during hepatocyte lipotoxicity [J]. J Cell Biochem, 2017, 118(10): 3249-3259.
- [26] 王卫远,李俊芳, 聂尚燕,等. 非诺贝特通过上调 PPARα 抑制 LPS 诱导的 THP-1 细胞 TLR4 表达的实验研究[J]. 西部医学, 2016, 28(1): 32-35.